

ELEKTROMAGNETSKI VALOVI

Maxwellovo otkriće elektromagnetskih valova, i to dva desetljeća prije Hertzova eksperimentalnog dokaza, i objašnjenje elektromagnetske naravi svjetlosti jedan je od najvećih doprinosa¹ znanosti u XIX. stoljeću. Temeljno svojstvo Maxwellovih jednadžbi za elektromagnetsko polje jest postojanje rješenja za *putujuće valove* koji predstavljaju prijenos energije kroz prostor. Opisat ćemo zato vektorske i skalarne *valne jednadžbe*, koje ćemo izvesti iz sustava Maxwellovih jednadžbi. Ograničit ćemo našu pažnju na rješavanje valnih jednadžbi u neograničenom linearnom, homogenom, izotropnom materijalu *bez izvora* polja. Drugim riječima, studirat ćemo svojstva valova bez da se zanimamo kako su takva polja proizvedena.

S izuzetkom statičkih polja, koja smo do sad razmatrali, najjednostavnija rješenja sustava jednadžbi dinamičkih polja su ona koja ovise o vremenu i o samo jednoj prostornoj varijabli. Takva jednodimenzionalna rješenja u pravocrtnom sustavu predstavljaju *ravne valove*. Mnoge značajke prostiranja elektromagnetskih valova bit će pojašnjene kroz studij svojstava ravnih valova, i zato je analiza ravnih valova subjekt od temeljne važnosti u elektromagnetskoj teoriji.

Raspon frekvencija elektromagnetskih valova koji se koriste u elektrotehnici vrlo je velik i obuhvaća područje od nula do nekoliko tisuća gigaherca. U Tablici 1. dali smo pregled frekvencija, valnih duljina i valnih područja koja se koriste za radiofoniju, televiziju i radar. Treba upozoriti da je kod tih najviših frekvencija još dozvoljen makroskopski pristup i da se tu približavamo granicama valjanosti klasične elektromagnetske teorije, tj. klasične elektrostatike.

Tablica 1. Valna područja za elektromagnetske valove u radiofoniji i televiziji prema CCIR²

Područje	Pojas broj	Američka oznaka	Valna duljina (m)	Frekvencija
marijametarsko	4	VLF	$10^5 - 10^4$	3 – 30 kHz
kilometarsko	5 dugi val	LF	$10^4 - 10^3$	30 – 300 kHz
hektometarsko	6 srednji val	MF	$10^3 - 10^2$	300 – 3000 kHz
dekametarsko	7 kratki val	HF	$10^2 - 10$	3 – 30 MHz
metarsko	8 UKV	VHF	$10 - 1$	30 – 300 MHz
decimetarsko	9	UHF	$1 - 0.1$	300 – 3000 MHz
centimetarsko	10	SHF	$0.1 - 0.01$	3 – 30 GHz
milimetarsko	11	EHF	$10^{-2} - 10^{-3}$	30 – 300 GHz
decimilimetarsko	12	—	$10^{-3} - 10^{-4}$	300 – 3000 GHz

¹ Suvremeni hrvatski fizičar Nikola Cindro u svojoj knjizi *Fizika 2* o tome otkriću piše:

"Spoznaja da je svjetlost elektromagnetski val, i svodenje tako različitih znanstvenih područja kao što su elektricitet, magnetizam i optika u jedinstvenu cjelinu nadilazi sve što je znanost XIX. stoljeća do tada pružila. XX. stoljeće je u tim područjima donijelo samo komplementarna otkrića o kvantnoj prirodi zračenja. Međutim, ono što u tom pogledu karakterizira naše stoljeće jest neslućeni razvoj primjene elektromagnetskih valova u telekomunikacijama.

Spektar elektromagnetskog zračenja, kako ga danas poznajemo, obuhvaća zračenje koje se međusobno toliko razlikuje da je njegovo svodenje na zajedničku prirodu ! elektromagnetske valove koji se razlikuju samo po frekvenciji ! prvorazredni znanstveni uspjeh. Od niskofrekventnog šuma, preko mikrovalova, infracrvenih (toplinskih), svjetlosnih i ultraljubičastih valova, te x- i gama-zraka, ovaj spektar obuhvaća pravilno titranje električnog i magnetskog polja od nekoliko herca do stotine eksaherca (10^{20} Hz). Sve to zračenje ima istu prirodu: sve su to elektromagnetski valovi koji se šire prostorom brzinom 3×10^8 m/s".

² Raspodjela frekvencija prema International Radio Consultative Committee.

Elektromagnetski valovi u sredstvima bez gubitaka

Razmotrimo prostor ispunjen idealnim dielektrikom sa značajkama $\epsilon = konst.$, $\mu = konst.$ i $\kappa = 0$. U prostoru ne postoje izvori polja ($\rho_s = 0$, $J_s = 0$). Maxwelllove jednačbe u tom slučaju imaju oblik:

$$\nabla \times \vec{E} = -\frac{\partial \vec{B}}{\partial t}$$

$$\nabla \times \vec{H} = \frac{\partial \vec{D}}{\partial t}$$

$$\nabla \cdot \vec{D} = 0$$

$$\nabla \cdot \vec{B} = 0$$

Primjenom operatora rotora na Faradayev zakon dobivamo izraz

$$\nabla \times \nabla \times \vec{E} = -\nabla \times \frac{\partial \vec{B}}{\partial t}$$

Korištenjem vektorskog identiteta

$$\nabla \times \nabla \times \vec{A} \equiv \nabla(\nabla \cdot \vec{A}) - \Delta \vec{A}$$

i zamjenom redoslijeda deriviranja po vremenu i prostornim koordinatama dobivamo

$$\nabla(\nabla \cdot \vec{E}) - \Delta \vec{E} = -\frac{\partial}{\partial t}(\nabla \times \vec{B})$$

Budući da vrijedi

$$\nabla \cdot \vec{E} = 0$$

$$\nabla \times \vec{B} = \mu(\nabla \times \vec{H}) = \mu\epsilon \frac{\partial \vec{E}}{\partial t}$$

ova se jednačba reducira na

$$\Delta \vec{E} - \mu\epsilon \frac{\partial^2 \vec{E}}{\partial t^2} = 0$$

Ovo je vektorska valna jednačba, a rastavljanjem na komponente u Kartezijevom koordinatnom sustavu dobivamo tri skalarne valne jednačbe

$$\Delta E_x - \mu\epsilon \frac{\partial^2 E_x}{\partial t^2} = 0$$

$$\Delta E_y - \mu\epsilon \frac{\partial^2 E_y}{\partial t^2} = 0$$

$$\Delta E_z - \mu\epsilon \frac{\partial^2 E_z}{\partial t^2} = 0$$

U općem se slučaju mogu pojaviti sve tri komponente \vec{E} i svaka od njih može ovisiti o sve tri prostorne koordinate x, y i z , te o vremenu t .

Zbog jednostavnosti ćemo pretpostaviti da su $E_y=E_z=0$. Tada dobivamo trodimenzionalnu parcijalnu diferencijalnu jednačbu

$$\Delta E_x - \mu\epsilon \frac{\partial^2 E_x}{\partial t^2} = 0$$

pa ćemo uvesti dodatno pojednostavnjenje pretpostavkom da E_x ne ovisi o koordinatama x i y , t.j.

$$\vec{E} = E_x(z, t) \vec{a}_x$$

Time dobivamo skalarnu valnu jednačbu

$$\frac{\partial^2 E_x}{\partial z^2} - \mu\epsilon \frac{\partial^2 E_x}{\partial t^2} = 0$$

Rješenje ove jednačbe ima oblik

$$E_x(z, t) = Af(t - z\sqrt{\mu\epsilon}) + Bg(t + z\sqrt{\mu\epsilon})$$

Ovdje su f i g proizvoljne funkcije z i t , a A i B su proizvoljne konstante. Dokaz da ovo rješenje zadovoljava skalarnu valnu jednačbu izvest ćemo deriviranjem

$$\frac{\partial E_x}{\partial z} = -A\sqrt{\mu\epsilon} f'(t - z\sqrt{\mu\epsilon}) + B\sqrt{\mu\epsilon} g'(t + z\sqrt{\mu\epsilon})$$

$$\frac{\partial^2 E_x}{\partial z^2} = A\mu\epsilon f''(t - z\sqrt{\mu\epsilon}) + B\mu\epsilon g''(t + z\sqrt{\mu\epsilon})$$

$$\frac{\partial E_x}{\partial t} = Af'(t - z\sqrt{\mu\epsilon}) + Bg'(t + z\sqrt{\mu\epsilon})$$

$$\frac{\partial^2 E_x}{\partial t^2} = Af''(t - z\sqrt{\mu\epsilon}) + Bg''(t + z\sqrt{\mu\epsilon})$$

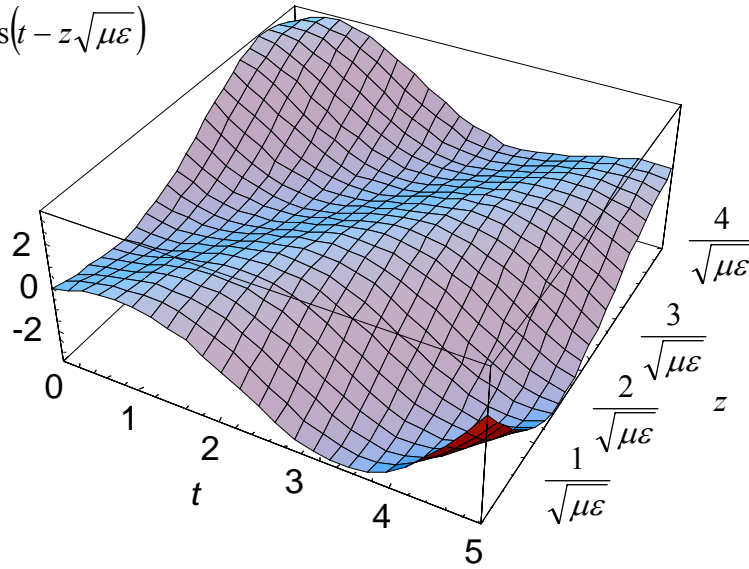
Oblik funkcija f i g ovisi o problemu koji rješavamo. Neki primjeri jesu:

$$\cos[\omega(t - z\sqrt{\mu\epsilon})], e^{-(t - z\sqrt{\mu\epsilon})}, (t + z\sqrt{\mu\epsilon})\sin(t + z\sqrt{\mu\epsilon})$$

Razmotrimo značenje funkcija f i g u rješenju skalarne valne jednačbe analizom primjera (Slika 1)

$$f = (t - z\sqrt{\mu\epsilon})\cos(t - z\sqrt{\mu\epsilon})$$

$$f = (t - z\sqrt{\mu\epsilon})\cos(t - z\sqrt{\mu\epsilon})$$



Slika 1. Prikaz funkcije $f = (t - z\sqrt{\mu\epsilon})\cos(t - z\sqrt{\mu\epsilon})$

U jednom trenutku t funkcija poprima niz vrijednosti u ovisnosti od z . Na Slici 1. možemo uočiti da je funkcija od z u proizvoljnom trenutku t jednaka funkciji od z u trenutku koji prethodi, ali pomaknuta u smjeru rastućeg z . Na primjer, od trenutka $t=1$ do trenutka $t=2$ ekstrem funkcije f se pomakne od mjesta $z = 1/(\mu\epsilon)^{0.5}$ do mjesta $z = 2/(\mu\epsilon)^{0.5}$. Stoga funkcija

$$f(t - z\sqrt{\mu\epsilon})$$

predstavlja val koji se giba u smjeru osi $+z$ sa brzinom $1/(\mu\epsilon)^{0.5}$. Brzinu prostiranja vala možemo odrediti i ako pratimo određenu točku funkcije i definiramo njezine pozicije z_1 i z_2 u trenutcima t_1 i t_2 . Budući da funkcija ima istu vrijednost, njezini argumenti moraju biti jednaki

$$t_1 - z_1\sqrt{\mu\epsilon} = t_2 - z_2\sqrt{\mu\epsilon}$$

pa brzina prostiranja vala iznosi:

$$v = \frac{z_2 - z_1}{t_2 - t_1} = \frac{1}{\sqrt{\mu\epsilon}}$$

U vakuumu (slobodnom prostoru) brzina prostiranja vala iznosi

$$v = \frac{1}{\sqrt{\mu\epsilon}} = 3 \cdot 10^8 \frac{\text{m}}{\text{s}}$$

Funkcija

$$g(t + z\sqrt{\mu\epsilon})$$

predstavlja val koji se giba u smjeru $-z$. Ako slijedimo određenu točku promatrač se u vremenu i prostoru mora gibati tako da vrijedi

$$t + z\sqrt{\mu\varepsilon} = konst. \Rightarrow dt + \sqrt{\mu\varepsilon}dz = 0 \Rightarrow v = \frac{dz}{dt} = -\frac{1}{\sqrt{\mu\varepsilon}}$$

Negativni predznak brzine ukazuje da se promatrač mora gibati u smjeru $-z$, pa funkcija g predstavlja val koji putuje u smjeru $-z$.

Jakost magnetskog polja određujemo korištenjem jednadžbe

$$-\frac{\partial \vec{B}}{\partial t} = \nabla \times \vec{E} \Rightarrow -\frac{\partial \vec{B}}{\partial t} = \frac{\partial E_x}{\partial z} \vec{a}_y$$

Vrijedi

$$\begin{aligned} \frac{\partial E_x}{\partial z} &= -A\sqrt{\mu\varepsilon}f'(t - z\sqrt{\mu\varepsilon}) + B\sqrt{\mu\varepsilon}g'(t + z\sqrt{\mu\varepsilon}) \\ \vec{B} &= -\vec{a}_y \int \frac{\partial E_x}{\partial z} dt = [A\sqrt{\mu\varepsilon}f(t - z\sqrt{\mu\varepsilon}) - B\sqrt{\mu\varepsilon}g(t + z\sqrt{\mu\varepsilon})] \vec{a}_y \end{aligned}$$

pa je

$$\vec{H} = \sqrt{\frac{\varepsilon}{\mu}} [Af(t - z\sqrt{\mu\varepsilon}) - B\sqrt{\mu\varepsilon}g(t + z\sqrt{\mu\varepsilon})] \vec{a}_y$$

Ako definiramo valni otpor sredstva bez gubitaka kao

$$Z = \sqrt{\frac{\mu}{\varepsilon}}$$

Onda vrijedi

$$\vec{H} = \frac{1}{Z} [Af(t - z\sqrt{\mu\varepsilon}) - B\sqrt{\mu\varepsilon}g(t + z\sqrt{\mu\varepsilon})] \vec{a}_y$$

Za vakuum (slobodni prostor) vrijedi $Z=Z_0=120\pi=377\Omega$. Ako označimo električna polja u $(+z)$ i $(-z)$ smjeru s E_x^+ i E_x^- , a magnetska polja u $(+z)$ i $(-z)$ smjeru s H_x^+ i H_x^- vrijedi

$$H_y^+ = \frac{E_x^+}{Z} \quad ; \quad H_y^- = -\frac{E_x^-}{Z}$$

Poyntingov vektor pridružen direktnom i inverznom valu je

$$\begin{aligned} \vec{P}^+ &= E_x^+ \vec{a}_x \times H_y^+ \vec{a}_y = \frac{(E_x^+)^2}{Z} \vec{a}_z \\ \vec{P}^- &= E_x^- \vec{a}_x \times H_y^- \vec{a}_y = -\frac{(E_x^-)^2}{Z} \vec{a}_z \end{aligned}$$

Ove jednadžbe ukazuju da je tijek snage pridružen direktnom valu usmjeren u $+z$ smjeru, a da je tijek snage pridružen inverznom valu usmjeren u $-z$ smjeru.

Zaključno, možemo konstatirati da vremenski promjenjiva električna i magnetska polja rezultiraju prostiranjem elektromagnetskih valova. Najjednostavnije rješenje se sastoji od direktnih valova koji se prostiru u $+z$ i inverznih valova koji se prostiru u $-z$ smjeru. U tom slučaju je jakost električnog polja u potpunosti usmjerena u smjeru osi x , a jakost magnetskog polja je u potpunosti usmjerena u smjeru osi y . Nadalje, polja su

homogena u ravnini okomitoj na smjer prostiranja ($z=\text{konst.}$). Stoga ovakve valove zovemo homogeni ravni valovi. U prirodi ovakvi valovi ne postoje, ali na udaljenostima dalekim od izvora polja i tla elektromagnetski valovi se mogu dobro približiti ravnim valovima.

Posvetimo sad pažnju sinusno promjenjivim elektromagnetskim poljima. Vrijedi

$$\frac{\partial^2 \vec{E}}{\partial t^2} = -\omega^2 \vec{E}$$

pa skalarna valna jednažba u fazorskoj domeni poprima oblik

$$\Delta \vec{E} + \omega^2 \mu \varepsilon \vec{E} = 0$$

Rješenje ove jednažbe u vremenskoj domeni je

$$\vec{E} = E_x(z, t) \vec{a}_x = \left\{ E_0^+ \cos[\omega(t - z\sqrt{\mu\varepsilon}) + \varphi] + E_0^- \cos[\omega(t + z\sqrt{\mu\varepsilon}) + \varphi] \right\} \vec{a}_x$$

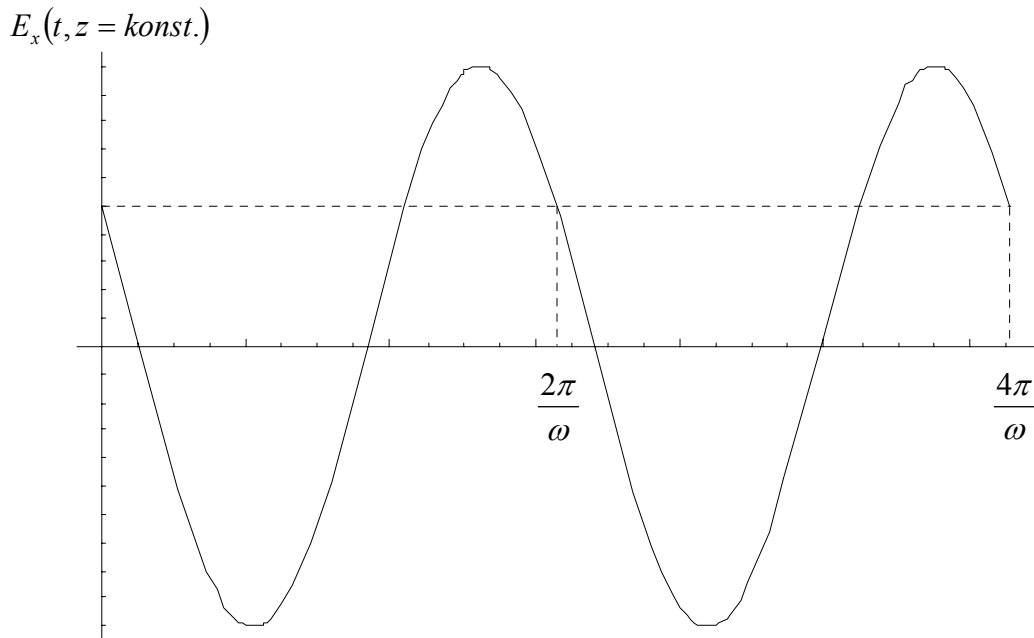
pa iz diferencijalnog oblika Faradayevog zakona u fazorskoj domeni

$$\nabla \times \vec{E} = -j\omega\mu\vec{H}$$

slijedi

$$\vec{H} = E_y(z, t) \vec{a}_y = \left\{ \frac{E_0^+}{Z} \cos[\omega(t - z\sqrt{\mu\varepsilon}) + \varphi] - \frac{E_0^-}{Z} \cos[\omega(t + z\sqrt{\mu\varepsilon}) + \varphi] \right\} \vec{a}_y$$

Na svakom mjestu $z=\text{konst.}$ Polja se mijenjaju u vremenu kao što smo prikazali na Slici 2.

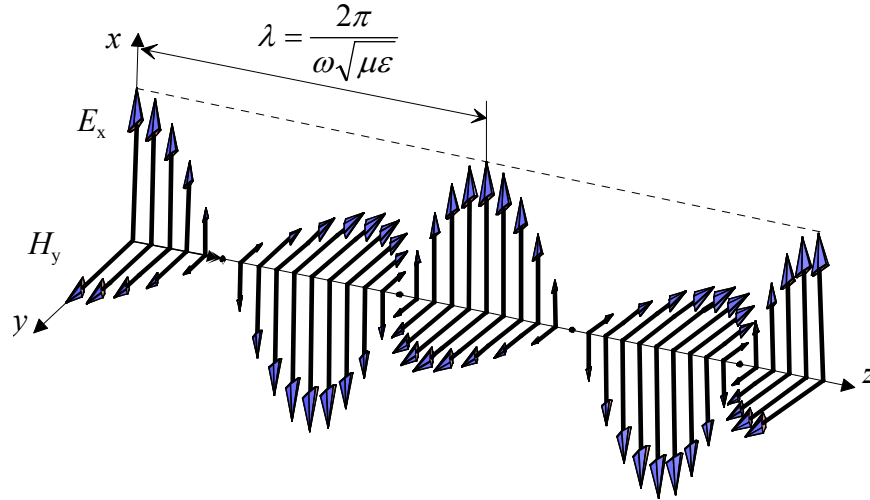


Slika 2. Jakost električnog polja u ravnini $z=\text{konst.}$

Svaka vrijednost polja se ponavlja u vremenskim intervalima $2\pi/\omega$. Broj ponavljanja u jednoj sekundi je *frekvencija*:

$$f = \frac{\omega}{2\pi}$$

U određenom trenutku $t=t_0$ električno i magnetsko polje vala se mijenjaju s udaljenošću kao što smo prikazali na Slici 3.



Slika 3. Elektromagnetsko polje u trenutku $t=t_0$

Svaka vrijednost polja se ponavlja u prostornim intervalima

$$\lambda = \frac{2\pi}{\omega\sqrt{\mu\epsilon}} = \frac{1}{f\sqrt{\mu\epsilon}}$$

Taj interval zovemo *valna dužina*. Argumente funkcije kosinus

$$\omega(t \mp z\sqrt{\mu\epsilon}) + \varphi$$

zovemo *faze*. Val se prostire brzinom

$$v_f = \frac{1}{\sqrt{\mu\epsilon}}$$

U ovom slučaju tu brzinu nazivamo *fazna brzina* budući da se promatrač mora gibati tom brzinom u smjeru osi z da bi mjerio stalno istu fazu

$$\omega t \mp \omega\sqrt{\mu\epsilon}z + \varphi = \text{konst.} \Rightarrow \omega dt \mp \omega\sqrt{\mu\epsilon}dz = 0 \Rightarrow v_f = \pm \frac{dz}{dt} = \pm \frac{1}{\sqrt{\mu\epsilon}}$$

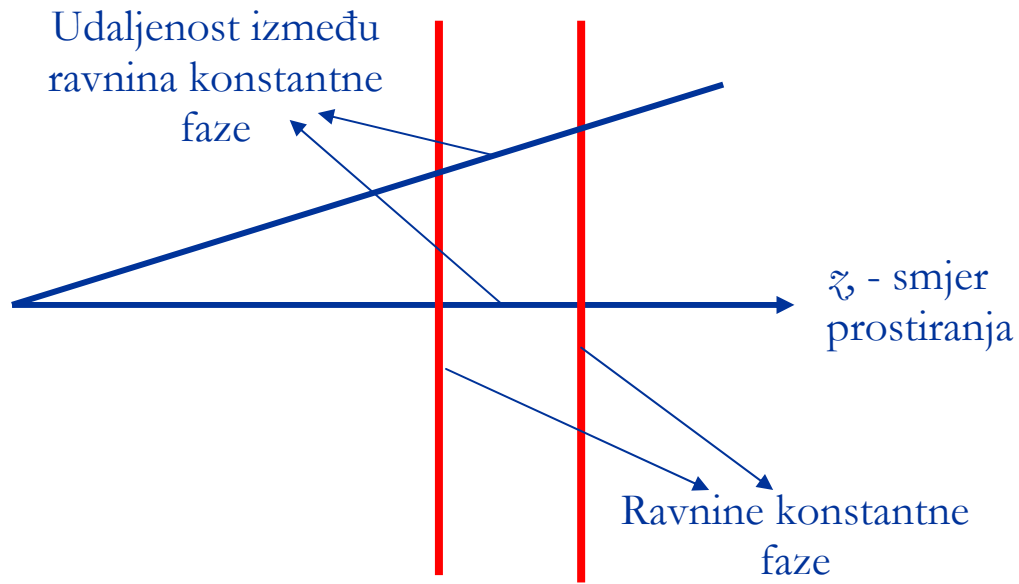
Vrijedi $v_f = \lambda f$. Ovaj izraz povezuje prostornu i vremensku promjenu polja u elektromagnetskom valu. Veličinu

$$\beta = \omega\sqrt{\mu\epsilon}$$

zovemo *fazna konstanta*. Ona je mjera brzine promjene faze s udaljenošću z u određenom trenutku $t=t_0$. Valnu dužinu i faznu brzinu možemo izraziti i u funkciji fazne konstante kao

$$\lambda = \frac{2\pi}{\beta} \quad ; \quad v_f = \frac{\omega}{\beta}$$

Brzina promjene faze je za val koji se prostire u z smjeru najveća u tom istom smjeru budući da je udaljenost između dvije površine konstantnih faza u svakom drugom smjeru veća (Slika 4).



Slika 4. Udaljenost između ravnina konstantne faze

Sukladno tome, ako odaberemo koordinatni sustav takav da se val prostire u proizvoljnom smjeru (a ne u smjeru osi z) brzine promjene faze u smjeru koordinatnih osi će biti manje od brzine kojom se faza mijenja u smjeru prostiranja koji je okomit na ravnine konstantnih faza. Ako fazne konstante u mjeru koordinatnih osi označimo kao $\beta_x, \beta_y, \beta_z$ i fazu u $t=0$ kao φ onda je faza u bilo kojoj točki (x, y, z) zadana s

$$\omega t - (\beta_x x + \beta_y y + \beta_z z) + \varphi$$

Ravnine konstantne faze su zadane s

$$\beta_x x + \beta_y y + \beta_z z = \text{konst.}$$

Smjer gradijenta skalarne funkcije $\beta_x x + \beta_y y + \beta_z z$ je smjer okomice na površine konstantne faze i ujedno smjer prostiranja vala, a veličina gradijenta daje mjeru promjene faze s udaljenošću, odnosno faznu konstantu β u smjeru širenja vala

$$\nabla(\beta_x x + \beta_y y + \beta_z z) = \beta_x \vec{a}_x + \beta_y \vec{a}_y + \beta_z \vec{a}_z$$

Veličina gradijenta je

$$\beta = \sqrt{\beta_x^2 + \beta_y^2 + \beta_z^2}$$

Ako uvedemo vektor

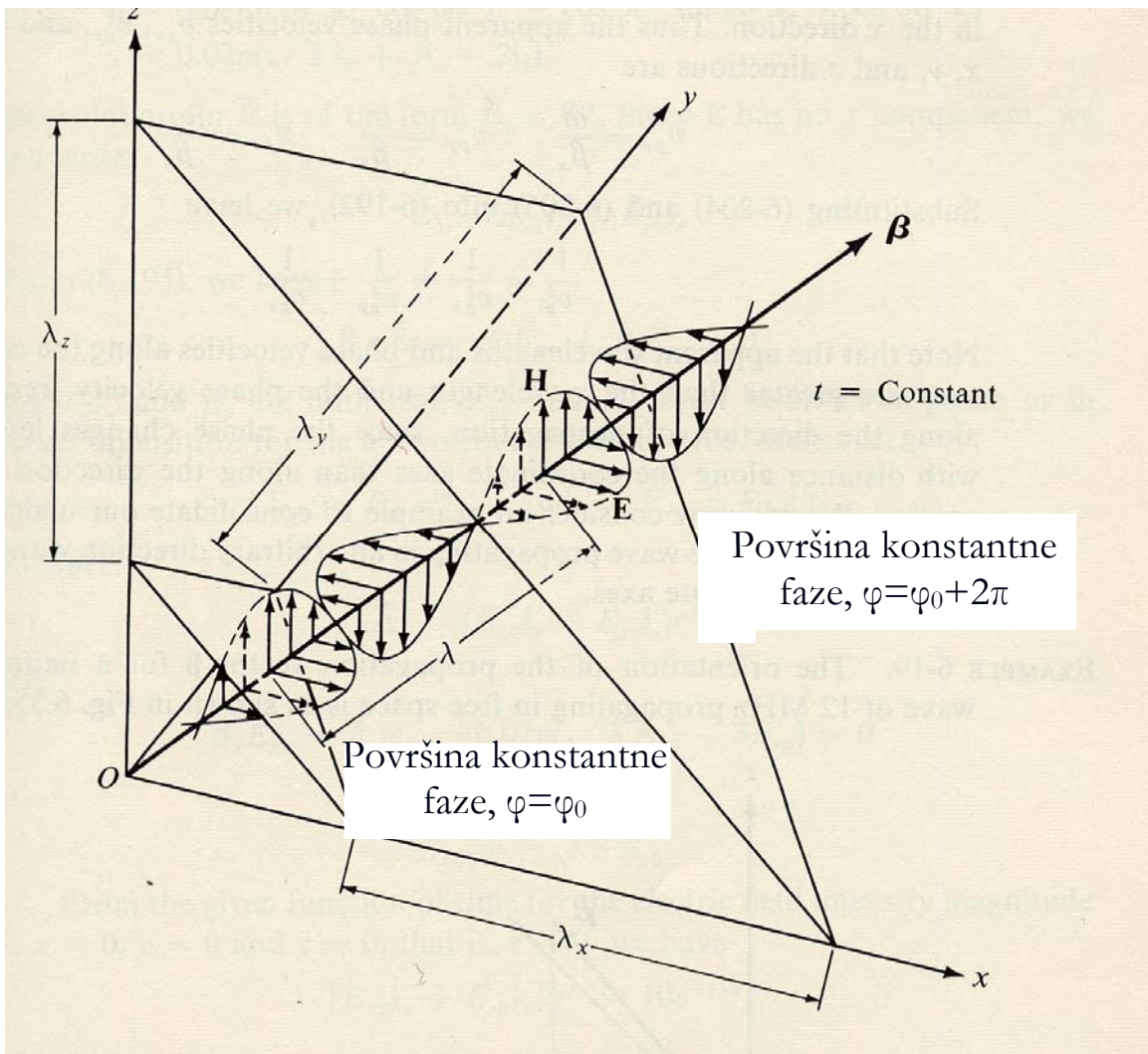
$$\vec{\beta} = \beta_x \vec{a}_x + \beta_y \vec{a}_y + \beta_z \vec{a}_z$$

i vektor položaja točke (x,y,z)

$$\vec{r} = x\vec{a}_x + y\vec{a}_y + z\vec{a}_z$$

fazu u proizvoljnoj točki možemo pisati kao

$$\omega t - \vec{\beta} \cdot \vec{r} + \varphi$$



Slika 5. Prostiranje vala u proizvoljnom smjeru

Ako označimo jakost električnog polja u ravnini nulte faze s \mathbf{E}_0 možemo napisati izraz za vektor jakosti električnog polja pridružen homogenom ravnom valu koji se prostire u smjeru $\vec{\beta}$ kao

$$\vec{E} = \vec{E}_0 \cos(\omega t - \vec{\beta} \cdot \vec{r} + \varphi)$$

U fazorskoj domeni pišemo

$$\underline{\vec{E}} = \vec{E}_0 e^{j\varphi} e^{-j\vec{\beta} \cdot \vec{r}} = \underline{\vec{E}}_0 e^{-j\vec{\beta} \cdot \vec{r}}$$

Budući da \mathbf{E}_0 mora biti u ravnini okomitoj na smjer prostiranja vala mora vrijediti

$$\vec{E} \cdot \vec{\beta} = \vec{E}_0 \cdot \vec{\beta} = \underline{\vec{E}}_0 \cdot \vec{\beta} = 0$$

Slično, vektor jakosti magnetskog polja pridružen homogenom ravnom valu koji se prostire u smjeru $\vec{\beta}$ je

$$\vec{H} = \vec{H}_0 \cos(\omega t - \vec{\beta} \cdot \vec{r} + \varphi) \quad ; \quad \underline{\vec{H}} = \vec{H}_0 e^{j\varphi} e^{-j\vec{\beta} \cdot \vec{r}} = \underline{\vec{H}}_0 e^{-j\vec{\beta} \cdot \vec{r}}$$

Budući da \mathbf{H}_0 mora biti u ravnini okomitoj na smjer prostiranja vala mora vrijediti

$$\vec{H} \cdot \vec{\beta} = \vec{H}_0 \cdot \vec{\beta} = \underline{\vec{H}}_0 \cdot \vec{\beta} = 0$$

Nadalje, \mathbf{E}_0 i \mathbf{H}_0 moraju biti u međusobno okomiti, a njihov vektorski produkt (Poyntingov vektor) mora biti usmjeren u smjeru prostiranja vala. Omjer njihovih apsolutnih vrijednosti mora biti jednak valnom otporu pa je

$$\frac{E_0}{H_0} = Z = \sqrt{\frac{\mu}{\varepsilon}} = \frac{\omega\mu}{\omega\sqrt{\mu\varepsilon}} = \frac{\omega\mu}{\beta} \Rightarrow \vec{H}_0 = \frac{1}{\omega\mu} \vec{\beta} \times \vec{E}_0 \quad ; \quad \vec{H} = \frac{1}{\omega\mu} \vec{\beta} \times \vec{E}$$

Valna dužina λ u smjeru prostiranja vala je

$$\lambda = \frac{2\pi}{\beta}$$

a prividne valne dužine u smjeru koordinatnih osi jesu

$$\lambda_x = \frac{2\pi}{\beta_x}, \lambda_y = \frac{2\pi}{\beta_y}, \lambda_z = \frac{2\pi}{\beta_z}$$

pa vrijedi

$$\frac{1}{\lambda^2} = \frac{1}{\lambda_x^2} + \frac{1}{\lambda_y^2} + \frac{1}{\lambda_z^2}$$

Fazna brzina u smjeru prostiranja je

$$\lambda = \frac{\omega}{\beta}$$

Za promatrača koji se giba u smjeru osi x su y i z konstantni. Stoga se on mora gibati brzinom

$$v_{fx} = \frac{\omega}{\beta_x}$$

da bi mjerio stalno istu fazu. Tu brzinu zovemo prividna fazna brzina u smjeru osi x . Prividne brzine u smjeru y i z osi jesu

$$v_{fy} = \frac{\omega}{\beta_y} \quad ; \quad v_{fz} = \frac{\omega}{\beta_z}$$

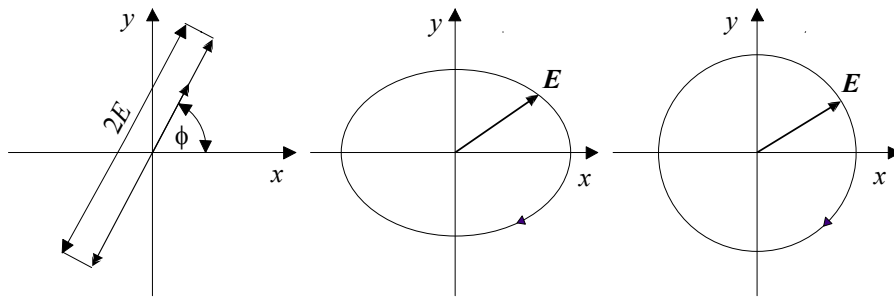
pa vrijedi

$$\frac{1}{v_{fx}^2} = \frac{1}{v_{fx}^2} + \frac{1}{v_{fy}^2} + \frac{1}{v_{fz}^2}$$

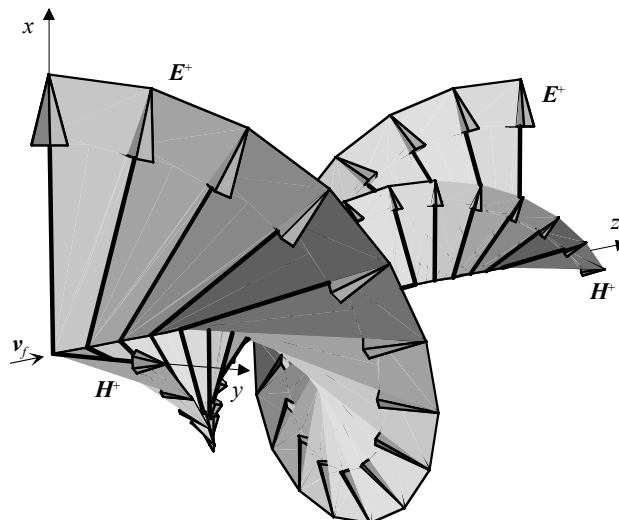
Prividne valne dužine i fazne brzine u smjeru koordinatnih osi su veće od valne dužine i fazne brzine u smjeru prostiranja vala.

Polarizacija

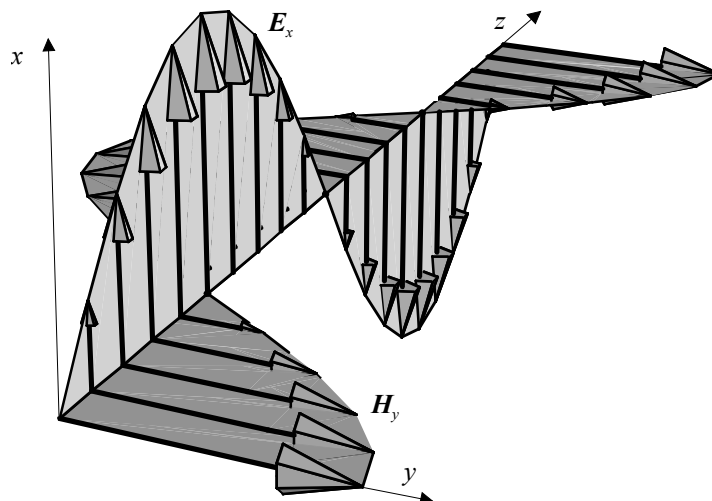
Krivulja položaja vrha vektora \mathbf{E} ravnog vala, koja je funkcija vremena u danoj točki u prostoru, općenito određuje polarizaciju vala. U slučaju linearne polarizacije ta krivulja je pravac, dok je u slučaju kružne polarizacije kružnica. U općem slučaju krivulja koju opisuje vrh vektora \mathbf{E} je elipsa, čije se dimenzije mogu odrediti pomoću analitičke geometrije.



Slika 6. Linearno, eliptički i kružno polarizirano električno polje ravnog vala



Slika 7. Kružno polarizirani direktni val



Slika 8. Linearno polarizirani direktni val

Na kraju možemo zaključiti da:

1. U dielektriku, zato jer je $\kappa=0$, nema gubitka snage pri prostiranju vala.
2. Zato jer nema gubitaka snage, val se u dielektriku giba bez prigušenja. Konstanta prostiranja vala je imaginarna, $\gamma=j\omega/c$.
3. Fazna brzina gibanja ravnine konstantne faze u dielektriku jednaka je brzini svjetlosti u danom materijalu $v_f=c$.
4. Budući da nema prigušenja amplitude vala, i budući da su fazne brzine valova različitih frekvencija iste, to u idealnom dielektriku nema ni distorzije signala, koji može biti sastavljen iz cijelog spektra sinusnih valova različite frekvencije. To je vrlo važno svojstvo idealnog dielektrika. Slične osobine pokazuju i izrazito dobri izolatori.
6. Valna impedancija dielektrika je realan broj. To uključuje da je fazni pomak između fazora električnog i magnetskog polja vala jednak nuli, $\varphi=0$, tj. oni su u fazi. Dakle, prostorno su vektori električnog i magnetskog polja postavljeni pod kutom od 90° , dok su vremenski promatrano oni u fazi.
7. Srednja vrijednost kompleksnog Poyntingova vektora za direktni val u smjeru $+z$ u dielektriku je realna i konstantna pa srednja snaga koja se valom prenosi kroz jedinicu površine u dielektriku ne ovisi o prijađenom putu z .

Elektromagnetski valovi u realnim dielektricima i vodičima (prigušenje i površinski učinak)

Do sad smo se bavili prostiranjem valova u idealnim dielektricima ($\kappa=0$), a sad ćemo razmotriti prostiranje valova u sredstvima s gubicima, posebice u dobrim vodičima. Maxwellove jednačbe u tom slučaju ($\rho_s=J_s=0$) poprimaju oblik

$$\left. \begin{aligned} \nabla \times \vec{E} &= -\frac{\partial \vec{B}}{\partial t} \\ \nabla \times \vec{H} &= \vec{J} + \frac{\partial \vec{D}}{\partial t} = \kappa \vec{E} + \varepsilon \frac{\partial \vec{E}}{\partial t} \\ \nabla \cdot \vec{D} &= 0 \\ \nabla \cdot \vec{B} &= \mu \nabla \cdot \vec{H} = 0 \end{aligned} \right\} \Rightarrow \Delta \vec{E} - \mu \kappa \frac{\partial \vec{E}}{\partial t} - \mu \varepsilon \frac{\partial^2 \vec{E}}{\partial t^2} = 0$$

Uz pretpostavku $E_y = E_z = 0$ ova se jednačba svodi na

$$\frac{\partial^2 E_x}{\partial x^2} + \frac{\partial^2 E_x}{\partial y^2} + \frac{\partial^2 E_x}{\partial z^2} - \mu \kappa \frac{\partial E_x}{\partial t} - \mu \varepsilon \frac{\partial^2 E_x}{\partial t^2} = 0$$

Ako uvedemo uvjet $\vec{E} = E_x(z, t) \vec{a}_x$ (ravni val) slijedi

$$\frac{\partial^2 E_x}{\partial z^2} - \mu \kappa \frac{\partial E_x}{\partial t} - \mu \varepsilon \frac{\partial^2 E_x}{\partial t^2} = 0$$

Ograničit ćemo naše razmatranje samo na sinusno promjenjiva polja, pa ova jednačba u fazorskoj domeni poprima oblik

$$\frac{\partial^2 \underline{E}_x}{\partial z^2} - j\omega\mu\kappa \underline{E}_x + \omega^2\mu\varepsilon \underline{E}_x = 0 \Rightarrow \frac{\partial^2 \underline{E}_x}{\partial z^2} = j\omega\mu(\kappa + j\omega\varepsilon) \underline{E}_x$$

Definiramo kompleksnu konstantu γ

$$\gamma^2 = j\omega\mu(\kappa + j\omega\varepsilon)$$

koju zovemo *konstanta prostiranja*. Možemo pisati

$$\frac{\partial^2 \underline{E}_x}{\partial z^2} = \gamma^2 \underline{E}_x \Rightarrow \underline{E}_x(z) = \underline{A}e^{-\gamma z} + \underline{B}e^{\gamma z}$$

Ovdje su \underline{A} i \underline{B} proizvoljne kompleksne konstante

$$\underline{A} = Ae^{j\delta} \quad ; \quad \underline{B} = Be^{j\psi}$$

Budući da je γ kompleksan broj možemo ga pisati u obliku

$$\gamma = \alpha + j\beta$$

gdje je α realni a β imaginarni dio γ . Izrazi za α i β slijede iz jednakosti

$$\gamma^2 = -\omega^2\mu\varepsilon + j\omega\mu\kappa \Rightarrow \alpha^2 - \beta^2 = -\omega^2\mu\varepsilon \quad ; \quad 2\alpha\beta = \omega\mu\kappa$$

$$\alpha = \frac{\omega}{\sqrt{2}c} \sqrt{\sqrt{1 + \left(\frac{\kappa}{\omega\varepsilon}\right)^2} - 1} \quad ; \quad \beta = \frac{\omega}{\sqrt{2}c} \sqrt{\sqrt{1 + \left(\frac{\kappa}{\omega\varepsilon}\right)^2} + 1} \quad ; \quad c = \frac{1}{\sqrt{\mu\varepsilon}}$$

Uvrštavanjem α i β u rješenje za električno polje u fazorskoj domeni dobivamo

$$\underline{E}_x(z) = Ae^{-\alpha z} e^{-j\beta z} e^{j\delta} + Be^{\alpha z} e^{j\beta z} e^{j\nu}$$

Preslikavanje u vremensku domenu rezultira s

$$E_x(z, t) = \text{Re}\{\underline{E}_x(z) e^{j\omega t}\} = Ae^{-\alpha z} \cos(\omega t - \beta z + \delta) + Be^{\alpha z} \cos(\omega t + \beta z + \nu)$$

Zanemarimo načas članove $e^{-\alpha z}$ i $e^{\alpha z}$ u ovom rješenju. Uočavamo da prvi i drugi član predstavljaju direktni (Slika 9a) i inverzni val (Slika 9b). Član $e^{-\alpha z}$ smanjuje vrijednost polja s rastućim z i time prigušuje direktni val koji se giba u $+z$ smjeru. Član $e^{\alpha z}$ smanjuje vrijednost polja s padajućim z i time prigušuje inverzni val koji se giba u $-z$ smjeru. Stoga konstantu α zovemo *prigušna konstanta*. Konstantu β zovemo *fazna konstanta* jer utječe na fazu putujućeg vala. Budući da smo identificirali direktni i inverzni val umjesto A i B možemo pisati

$$\underline{E}_x(z) = \underline{E}_x^+ e^{-\gamma z} + \underline{E}_x^- e^{\gamma z}$$

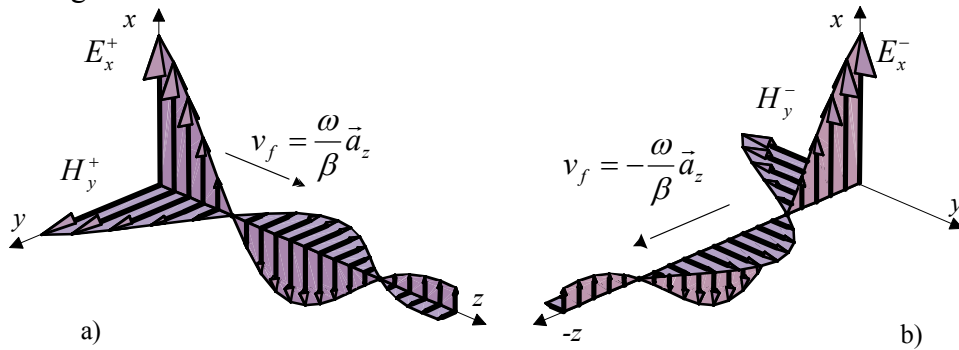
Odgovarajuće rješenje za jakost magnetskog polja slijedi iz Faradayevog zakona

$$\nabla \times \underline{\vec{E}} = -j\omega\mu \underline{\vec{H}} \Rightarrow \underline{\vec{H}} = \underline{H}_y(z) \underline{\vec{a}}_y = \frac{1}{Z} (\underline{E}_x^+ e^{-\gamma z} - \underline{E}_x^- e^{\gamma z}) \underline{\vec{a}}_y$$

Ovdje je Z valna impedancija materijala s gubicima koja iznosi

$$Z = \frac{j\omega\mu}{\gamma} = \frac{j\omega\mu}{\sqrt{\kappa + j\omega\varepsilon}} = \frac{\omega\mu}{\sqrt{\alpha^2 + \beta^2}} e^{j\arctan\frac{\alpha}{\beta}}$$

Ona je kompleksni broj. Naše rješenje predstavlja ravni val u materijalu s gubicima budući da su u ravnini konstantne faze amplitude polja svugdje jednake, a prigušuju se od jedne do druge ravnine.



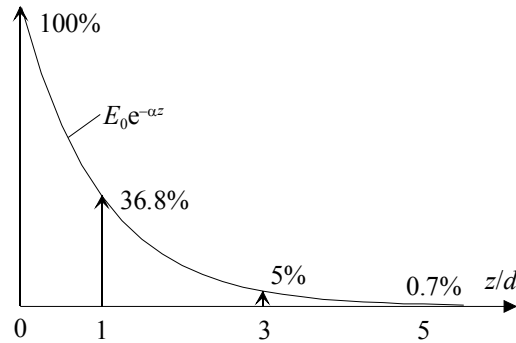
Slika 9. Direktni i inverzni val u materijalu s gubicima

Fazna brzina u materijalu s gubicima je

$$v_f = \frac{\omega}{\beta} = \frac{\pm c\sqrt{2}}{\sqrt{1 + \left(\frac{\kappa}{\omega\varepsilon}\right)^2} + 1}$$

Općenite značajke o prostiranju sinusnog ravnog vala u *vodljivom materijalu s gubicima* jesu:

1. U vodljivom materijalu, zbog konačne provodnosti ($\kappa \neq 0$), prigušna konstanta je uvijek različita od nule $\alpha \neq 0$, pa su oba i električno i magnetsko polje putujućeg vala *prigušeni* u smjeru gibanja vala.
2. Prigušenje amplituda oba polja u ravnini konstantne faze vala određeno je konstantom prigušenja α , koja ovisi o frekvenciji polja vala. Prigušenje raste s frekvencijom vala i s povećanjem provodnosti materijala.
3. U analizi elektromagnetskih valova rabi se pojam "dubine prodiranja" vala u vodljivi materijal. To je udaljenost na kojoj se amplituda polja vala priguši na iznos $1/e = 0,368$, tj. na približno 36,8% početne vrijednosti, kao što je prikazano na slici 10.



Slika 10. Eksponencijalno prigušenje amplitude električnog polja ravnog vala u smjeru gibanja vala duž osi $+z$ u vodljivom materijalu

Dubina prodiranja vala definirana je sa $z = d$, kada je $\alpha z = \alpha d = 1$, što daje

$$d = \frac{1}{\alpha} = \frac{c\sqrt{2}}{\omega} \frac{1}{\sqrt{\sqrt{1 + \left(\frac{\kappa}{\omega\epsilon}\right)^2} - 1}}$$

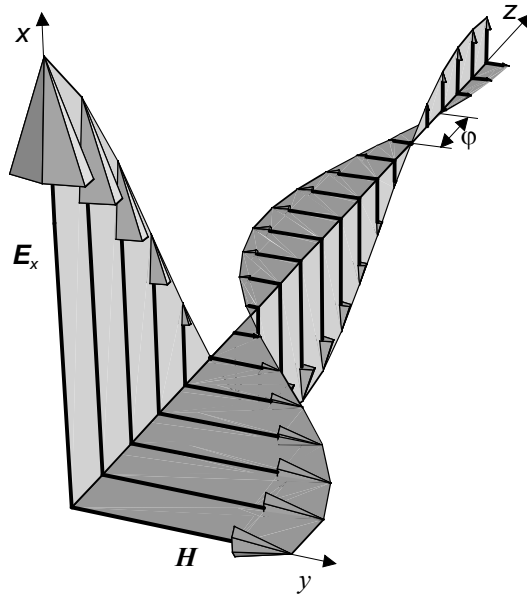
Mjeri se u *metrima* (m). Dubina prodiranja vala ovisi o frekvenciji vala i o značajkama materijala. Dubina prodiranja vala je to manja što je frekvencija viša, jer se val brže prigušuje. Isto tako materijal s većom provodnošću κ ima manju dubinu prodiranja. Uobičajeno je u primijenjenoj teoriji elektromagnetskih polja računati s udaljenošću $z = 3d$, odnosno $z = 5d$, na kojoj se amplituda polja priguši na približno 5%, odnosno približno 0.7% početnog iznosa, kao s udaljenošću na kojoj se polje praktički potpuno priguši. Dakle, *uzima se da val iščezne na udaljenosti jednakoj trostrukoj dubini prodiranja* i to s pogreškom od 5%, ili na udaljenosti jednakoj peterostrukoj dubini prodiranja, tada s pogreškom od 0.7%.

1. *Električno i magnetsko polje nisu u fazi.* Magnetsko polje zaostaje za električnim za fazni kut φ . Njegov iznos je

$$\varphi = \arctan \frac{\alpha}{\beta}$$

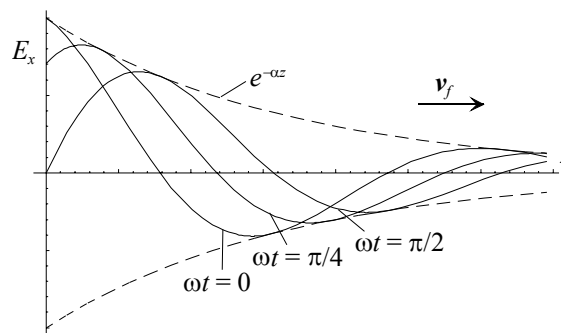
i ovisi o frekvenciji i gradivnim značajkama materijala. Što je provodnost materijala veća i što je niža frekvencija polja, to je kut faznog pomaka između

električnog i magnetskog polja veći. Lako je pokazati da je za dielektrike i za materijale sa zanemarivo malom provodnošću $\varphi \approx 0$, a da je za materijale s vrlo velikom provodnošću, kao npr. za kovine $\varphi \approx 45^\circ$. Zato se može ustvrditi da se za sve materijale i za cijelo područje tehničkih frekvencija kut faznog pomaka nalazi u granicama $0 \leq \varphi \leq 45^\circ$.



Slika 11. Vektori električnog i magnetskog polja ravnog prigušenog vala u vodljivom materijalu s gubicima

- Na slici 11. prikazana je ovisnost vektora E_x i H_y o odrednici z u određenom vremenskom trenutku $t=0$, gdje amplitude električnog i magnetskog polja opadaju eksponencijalno, kako se val giba duž osi z . Val magnetskog polja fazno je pomaknut prema valu električnog polja za kut φ .
5. Konačna provodnost materijala $\kappa \neq 0$ ne samo da ima za posljedicu prigušenje putujućeg TEM vala, nego utječe i na njegovu faznu brzinu. Ravnina konstantne faze prostire se faznom brzinom, koja v_f raste s frekvencijom vala tako dugo dok su značajke ϵ , μ , κ neovisne o frekvenciji.



Slika 12. Gibanje električnog polja ravnog vala koji je linearno polariziran i prostire se duž osi z , prikazano u nekoliko vremenskih trenutaka

- Na slici 12. prikazali smo kako se električno polje putujućeg TEM vala giba brzinom v_f duž osi z tijekom vremena. Istovremeno se val i amplitudno prigušuje.
6. Prigušenje putujućeg vala, koji se prostire u vodljivom materijalu, posljedica je gubitaka energije na tom putu. Srednja snaga koja se prenosi putujućim valom kroz jediničnu površinu u okolišu točke na udaljenosti z od ishodišta određena je izrazom

$$N_{\text{Re},sr} = \frac{1}{2} \frac{E_0^2}{|Z|} e^{-2\alpha z} \cos \varphi$$

E_0 je amplituda, tj. maksimalna vrijednost električnog polja u početnoj točki $z = 0$. Razumljivo je da zbog prigušenja i električnog i magnetskog polja srednja specifična elektromagnetska snaga koju TEM val nosi sobom opada eksponencijalno s $e^{-2\alpha z}$. Za dano polje ta snaga ovisi o modulu impedancije, faznom pomaku i prigušenju u materijalu, koji su pak ovisni o frekvenciji i značajkama materijala.

Dvije su vrste materijala od posebnog interesa u analizi prostiranja ravnih valova. Jedni su *dobri izolatori*, u njima su struje pomaka mnogo veće od provodnih struja, tj. $\kappa/\omega\epsilon \ll 1$. Drugi su *dobri vodiči*, u njima su provodne struje mnogo veće od struja pomaka, tj. $\kappa/\omega\epsilon \gg 1$. Očito je da je temeljni kriterij za razvrstavanje jednostavnih materijala pri zadanoj frekvenciji polja u grupu dobrih izolatora, odnosno dobrih vodiča, iznos omjera provodnih i struja pomaka. Taj omjer $\kappa/\omega\epsilon$ određuje ponašanje materijala u polju elektromagnetskog vala zadane frekvencije. Sad ćemo razviti *približne izraze* za značajke α , β , γ , Z , v_f za ova dva slučaja. Dobiveni izrazi bitno će pojednostavniti i olakšati analizu prostiranja valova u materijalima s gubicima.

Dobri izolatori su materijali u kojima je provodna struja jako mala pa vrijedi

$$\frac{\kappa}{\omega\epsilon} \ll 1 \Rightarrow \sqrt{1 + \left(\frac{\kappa}{\omega\epsilon}\right)^2} \approx 1 + \frac{1}{2} \left(\frac{\kappa}{\omega\epsilon}\right)^2$$

Pojednostavnjeni izrazi za značajke vala u tom slučaju jesu

$$\alpha = \frac{\kappa}{2} \sqrt{\frac{\mu}{\epsilon}} \quad ; \quad \beta = \frac{\omega}{c} \quad ; \quad \gamma = \frac{\kappa}{2} \sqrt{\frac{\mu}{\epsilon}} + j \frac{\omega}{c} \quad ; \quad Z = \sqrt{\frac{\mu}{\epsilon}}$$

- Kod materijala i pri frekvenciji polja, kod kojih je $\kappa/\omega\epsilon \leq 0.2$, (tj. struje pomaka pet i više puta veće od provodnih), pogreška u proračunu prigušne konstante prema približnom izrazu iznosi samo 0.5% i manje. Očito je da prigušna konstanta nije ovisna o frekvenciji, dok je linearno proporcionalna provodnosti izolatora i idealnoj valnoj impedanciji (otporu).
- Prva aproksimacija za faznu konstantu kod dobrih izolatora je jednaka onoj kod idealnog dielektrika. Analiza točnosti je ista kao za prigušnu konstantu, već kod omjera $\kappa/\omega\epsilon \leq 0.2$ postiže se točnost s pogreškom od samo 0.5%. Fazna konstanta je linearno ovisna o frekvenciji.
- Ako je omjer $\kappa/\omega\epsilon \leq 0.2$, valnu impedanciju možemo izjednačiti s valnim otporom idealnog dielektrika. Pri tome činimo u realnom članu pogrešku od najviše 1.5%. Zanemarenjem imaginarnog člana činimo pogrešku od najviše 10%.

Na kraju možemo zaključiti, da se zbog vrlo malih vrijednosti provodnosti κ , polje sinusnog vala vrlo malo, tj. neznatno prigušuje u dobrom izolatoru, dok se u svemu drugom val praktično ponaša kao da se prostire u idealnom dielektriku. Tako npr. prigušna konstanta za porculan kod svih frekvencija do reda 10 GHz iznosi približno $16 \cdot 10^{-12}$ 1/m, što predstavlja vrlo malu vrijednost. Ili drugi primjer, val frekvencije 10 MHz prigušuje se u polistirenu samo 0.5% po kilometru duljine, a električno i magnetsko polje su mu fazno pomaknuti za kut $\varphi = 0.003^\circ$. Valna impedancija, fazna brzina i valna duljina u dobrom izolatoru manji su nego u vakuumu, budući je obično $\varepsilon > \varepsilon_0$ i $\mu = \mu_0$. Gubici u jedinici volumena, vrlo su mali, budući je provodnost κ vrlo mala u dobrim izolatorima.

Dobri vodiči su u sinusnim poljima karakterizirani omjerom $\kappa/\omega\varepsilon \gg 1$. U dobrom vodiču struje pomaka mogu biti potpuno zanemarene u usporedbi s provodnim strujama. To je jedna od bitnih značajki ponašanja vodiča u sinusno promjenjivim poljima. Analizu ponašanja sinusnog vala u dobrim vodičima učinit ćemo preglednijom ako izvedemo približne izraze za temeljne značajke γ , α , β , Z i v_f materijala uvažavajući da je $\kappa/\omega \gg 1$. Dobri vodiči su materijali za koje je

$$\frac{\kappa}{\omega\varepsilon} \gg 1 \Rightarrow \sqrt{1 + \left(\frac{\kappa}{\omega\varepsilon}\right)^2} \approx \frac{\kappa}{\omega\varepsilon}$$

Pojednostavnjeni izrazi za značajke vala u to slučaju jesu

$$\begin{aligned} \alpha = \beta &= \sqrt{\frac{\omega\mu\kappa}{2}} \quad ; \quad \gamma = (1+j)\sqrt{\frac{\omega\mu\kappa}{2}} \quad ; \quad Z = (1+j)\sqrt{\frac{\omega\mu}{2\kappa}} = \sqrt{\frac{\omega\mu}{\kappa}} e^{j\frac{\pi}{4}} \\ v_f &= \frac{\omega}{\beta} = \sqrt{\frac{2\omega}{\mu\kappa}} \quad ; \quad \lambda = \frac{2\pi}{\beta} = \frac{2\pi}{\sqrt{\frac{\omega\mu\kappa}{2}}} \\ \vec{N}_{sr} &= \frac{1}{2}(\vec{E} \times \vec{H}^*) = \frac{1}{2}|\vec{H}_0|^2 e^{-2\alpha z} (1+j)\sqrt{\frac{\omega\mu}{2\kappa}} \vec{a}_z \end{aligned}$$

- Prigušna konstanta je za dobre vodiče vrlo velika. Tako za bakar kod 50 Hz ona iznosi 106 1/m, kod 10 MHz je 47000 1/m, a kod 1 GHz ona iznosi 470000 1/m. Prigušenje u dobrim vodičima vrlo je veliko, i to veće što su vodljivost i permeabilnost materijala veći i što je frekvencija polja viša. Tako se npr. val od 10 MHz u bakru na putu od 0.06 mm priguši na 5.8% početne vrijednosti. To znači da se val praktički potpuno prigušio i da valovi ne prodiru duboko u kovine. Kovine djeluju kao štit protiv elektromagnetskih valova. S druge strane i materijali s lošijom provodnošću, kao npr. morska voda sa značajkama $\kappa = 5$ S/m, $\varepsilon = 81\varepsilon_0$ i $\mu = \mu_0$, kod određenih frekvencija ponašaju se kao dobri vodiči. Uvjet koji mora biti ispunjen da bi morska voda bila dobar vodič jest da bude $\kappa/\omega\varepsilon \geq 100$. Dakle, za valove frekvencije $f \leq 11$ MHz morska voda se ponaša kao dobar vodič. To je vrlo široki opseg frekvencija. Pa je tako npr. prigušna konstanta za morsku vodu za valove frekvencije 50 Hz $\alpha = 0.0314$ 1/m, za valove 10 kHz $\alpha = 0.4427$ 1/m i za valove 10 MHz $\alpha = 14.042$ 1/m. Zato će se u morskoj vodi elektromagnetski

- valovi frekvencije 50 Hz na dubini od 50 m prigušiti na 20.8% početnog iznosa. Približno na isti iznos prigušit će se i valovi frekvencije 10 kHz na dubini od 7.1 m, odnosno valovi frekvencije 10 MHz na dubini od 0.225 m.
- Fazna konstanta približno je jednaka prigušnoj konstanti. Proporcionalna je drugom korijenu frekvencije, permeabilnosti i provodnosti materijala. Jedinica joj je 1/m. Vrijednosti fazne konstante za dobre vodiče su vrlo velike u usporedbi s iznosom fazne konstante za dobre izolatore pri istoj frekvenciji.
 - Valna impedancija dobrih vodiča je kompleksna i ekstremno mala kod radiofrekvencija. Tako valna impedancija bakra ima modul 0.012Ω za frekvenciju 10 MHz. Proporcionalna je drugom korijenu frekvencije, permeabilnosti i recipročne vrijednosti provodnosti materijala. Realni i imaginarni dio su joj približno jednaki, *pa fazni pomak između fazora električnog i magnetskog polja iznosi 45° .*
 - Fazna brzina u dobrim vodičima je mnogo manja nego u praznom prostoru. Mjeri se u metrima po sekundi. Posebno treba istaknuti frekvencijsku ovisnost fazne brzine u dobrim vodičima i u vodljivim materijalima uopće. Tako su harmonici višeg reda složenog vala konstantno ubrzani u odnosu na one nižeg reda.
 - Fazna brzina vala u dobrom vodiču je mnogo manja od brzine vala iste frekvencije u vakuumu $v_f = c_0 = 1/(\mu_0 \epsilon_0)^{1/2}$, *pa je valna duljina u dobrom vodiču mnogo manja od one u vakuumu.* Općenito možemo zaključiti da je valna duljina u dobrom vodiču vrlo mala u usporedbi s valnom duljinom u praznom prostoru. Npr. kod frekvencije od 10 MHz valna duljina u vakuumu je 30 m, dok je u morskoj vodi 0.45 m, a u bakru je samo 0.133 mm.
 - Budući je κ dobrih vodiča vrlo visok, pogotovo kovina, to su specifični gubici veliki, posebno na početku ($z=0$) dok val nije prigušen.

Na kraju možemo zaključiti da se u dobrim vodičima mogu zanemariti struje pomaka (prema provodnim strujama). Polje sinusnog vala se jako prigušuje, budući su specifični gubici u materijalu veliki. Magnetsko polje zaostaje za električnim za fazni kut koji približno iznosi $\varphi \approx 45^\circ$. Kovine kao izrazito dobri vodiči su reflektori elektromagnetskih valova.

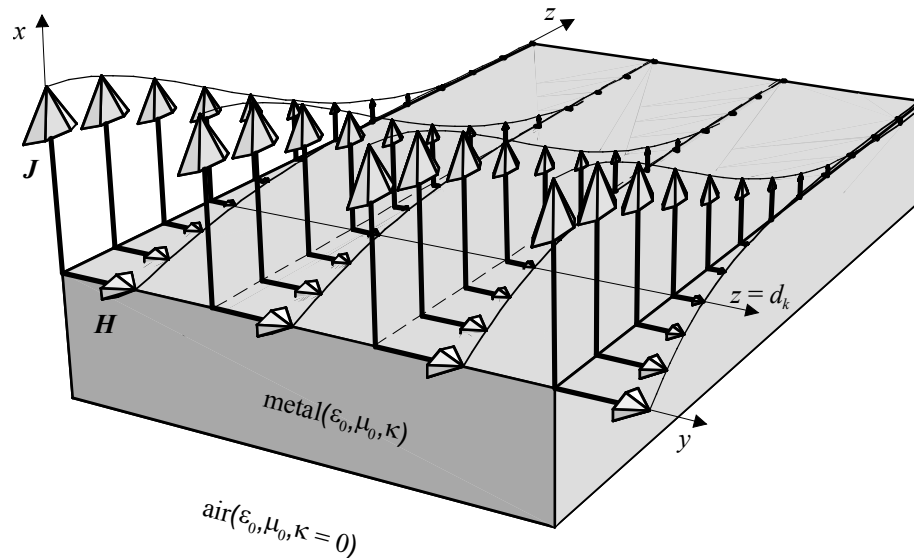
Površinski učinak

Prostiranje valova dosad smo analizirali u vodljivim materijalima s gubicima u i posebno u dobrim vodičima (čiji su izraziti predstavnici kovine). Utvrdili smo da se val koji polazi od površine dobrog vodiča i prostire u njegovu unutrašnjost, vrlo brzo priguši na beznačajnu vrijednost. Zato je u kovinama sinusno elektromagnetsko polje lokalizirano u tankom sloju uz površinu. To ima za posljedicu da su i sinusne provodne struje gustoće $J = \kappa E$, koje teku u kovinama kao posljedica polja, potisnute prema površini i usredotočene u tankom površinskom sloju vodiča. Ova pojava poznata je u elektromagnetskoj teoriji pod nazivom *površinski učinak* (skin efekt).

Objasnili smo da se u praktičnim tehničkim zadaćama uzima da se val u kovinama priguši na beznačajnu vrijednost (na približno 5% početnog iznosa, tj. polja na površini vodiča) na dubini $3d_k$ ispod površine kovine

$$d_k = \frac{1}{\alpha} = \sqrt{\frac{2}{\omega \mu \kappa}}$$

Očito je da elektromagnetsko polje iščezne puno prije (nakon $3d_k$) nego što val uspije prijeći u kovini put koji bi bio jednak jednoj valnoj duljini ($\lambda_k = 6.28d_k$), pa o elektromagnetskom valu u kovini nema smisla govoriti. Budući da je sva struja u kovini usredotočena uz površinu u sloju debljine $3d_k$, to se često govori o *strujnom oblogu* na površini vodiča.



Slika 13. Potiskivanje struja i jakosti magnetskog polja prema površini kovine

Iznos debljine tog strujnog sloja u bakru i aluminiju, koji su izrazito dobri tehnički vodiči, pri različitim frekvencijama polja dan je u tablici 2. Očito je da su te debljine strujnog sloja npr. u bakru reda od 28 mm pri 50 Hz do 2 μ m pri frekvenciji od 10 GHz (mikrovalna frekvencija za radar i druge primjene) vrlo male. Stvarno ima smisla govoriti o strujnom oblogu, a nikako o jednolikoj raspodjeli struje u kovini.

Tablica 2. Dubina prodiranja i debljina strujnog sloja uz površinu bakra i aluminija

Frekvencija (Hz)	Bakar		Aluminij	
	Dubina prodiranja d_k (mm)	Debljina strujnog sloja $3d_k$ (mm)	Dubina prodiranja d_k (mm)	Debljina strujnog sloja $3d_k$ (mm)
50	9,4	28,2	12	36
60	8,6	25,8	11	33
10^3	2,1	6,3	2,7	8,1
10^6	0,07	0,21	0,08	0,24
10^9	0,002	0,006	0,003	0,009
10^{10}	$0,7 \cdot 10^{-3}$	$2,1 \cdot 10^{-3}$	$0,85 \cdot 10^{-3}$	$2,4 \cdot 10^{-3}$